

УДК 544.723.54:546.174

**ИССЛЕДОВАНИЕ МЕТОДОМ РФЭС ВЗАИМОДЕЙСТВИЯ МОДЕЛЬНЫХ NSR  
КАТАЛИЗАТОРОВ Ba/TiO<sub>2</sub> И Ba/ZrO<sub>2</sub> С NO<sub>2</sub>**

**М.Ю. Смирнов<sup>1</sup>, А.В. Калинкин<sup>1</sup>, Д.А. Назимов<sup>1,2</sup>, В.И. Бухтияров<sup>1,2</sup>, Е.И. Вовк<sup>1,3</sup>,  
E. Ozensoy<sup>3</sup>**

<sup>1</sup>Институт катализа им. Г.К. Борескова СО РАН, Новосибирск  
E-mail: smirnov@catalysis.ru

<sup>2</sup>Новосибирский государственный университет

<sup>3</sup>Bilkent University, 06800 Bilkent, Ankara, Turkey

Статья поступила 22 января 2014 г.

Методом рентгеновской фотоэлектронной спектроскопии исследовано взаимодействие с NO<sub>2</sub> модельных катализаторов поглощения-восстановления оксидов азота (NSR катализаторы) — Ba/TiO<sub>2</sub> и Ba/ZrO<sub>2</sub>, приготовленных на поверхности подложек из ультратонких пленок Al<sub>2</sub>O<sub>3</sub>, полученных окислением сплава фекралой (FeCrAl-alloy). Показано, что при комнатной температуре модельные катализаторы реагируют с NO<sub>2</sub> с последовательным образованием поверхностных нитрита и нитрата бария. Предположительно, восстановление NO<sub>2</sub> с образованием нитрита бария на начальном этапе взаимодействия сопровождается окислением остаточного металлического бария и примесного аморфного углерода. Установлено, что образование нитрата бария протекает более эффективно на Ba/ZrO<sub>2</sub>, чем на Ba/TiO<sub>2</sub>.

**Ключевые слова:** модельные NSR катализаторы, реакция с NO<sub>2</sub>, нитрит бария, нитрат бария, рентгеновская фотоэлектронная спектроскопия.

**ВВЕДЕНИЕ**

Очистка выхлопных газов автомобилей от вредных примесей является важной практической задачей, для решения которой применяют сложные каталитические системы. В составе этих систем NSR (NO<sub>x</sub> storage-reduction) катализаторы служат для нейтрализации оксидов азота [1]. Они выполняют следующие две функции: 1) окисление оксидов азота с фиксацией их в форме нитратов; 2) восстановление нитратов до молекулярного азота. Традиционно в качестве основного компонента, поглащающего NO<sub>x</sub>, используются Ba-содержащие вещества — BaO, Ba(OH)<sub>2</sub> или BaCO<sub>3</sub>, нанесенные на γ-Al<sub>2</sub>O<sub>3</sub>. Для обеспечения более эффективного окисления NO в NO<sub>2</sub> и далее до нитрата бария в окислительных условиях, а также последующего восстановления нитрата до азота в восстановительных условиях в состав катализатора вводят платину. Недостатком такого типа NSR катализаторов является их высокая восприимчивость к отравлению оксидами серы (SO<sub>x</sub>), которые образуются в выхлопных газах в результате окисления входящих в состав топлива S-содержащих примесей. Было установлено, что взаимодействие катализатора с оксидами серы в окислительной среде приводит к образованию устойчивых сульфатов бария, в результате чего абсорбционная емкость по оксидам азота уменьшается [2, 3]. Сообщалось, что устойчивость NSR катализатора к отравлению соединениями серы можно повысить заменой традиционного материала носителя γ-Al<sub>2</sub>O<sub>3</sub> на другие оксиды, например TiO<sub>2</sub> или ZrO<sub>2</sub>, в присутствии которых легче происходит разложение сульфата бария в восстановительной среде [4—6].

Ранее нами с использованием метода рентгеновской фотоэлектронной спектроскопии (РФЭС) проведено исследование взаимодействия  $\text{NO}_x$  и  $\text{SO}_x$  с поверхностью модельных NSR катализаторов традиционного состава  $\text{Pt}/\text{BaCO}_3/\text{Al}_2\text{O}_3$  и  $\text{Pt}/(\text{BaCO}_3+\text{CeO}_2)/\text{Al}_2\text{O}_3$  и была установлена природа образующихся поверхностных соединений  $\text{NO}_x^-$  и  $\text{SO}_x^{2-}$  [7, 8]. В настоящей работе данный подход применен для исследования процесса поглощения  $\text{NO}_x$  модельными системами  $\text{Ba/TiO}_2$  и  $\text{Ba/ZrO}_2$ .

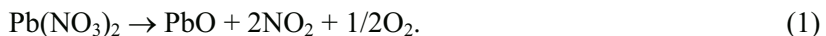
### МЕТОДИКА ЭКСПЕРИМЕНТА

Приготовление модельных катализаторов, их обработку в газовой реакционной среде и съемку РФЭ-спектров проводили в спектрометре SPECS (Германия) с остаточным давлением в камере анализатора  $< 5 \times 10^{-9}$  Торр. Спектры записывали, используя немонохроматическое излучение  $\text{Al}K_\alpha$  ( $h\nu = 1486,6$  эВ). Перед проведением экспериментов шкалу энергий связи спектрометра откалибровали по положению сигналов металлического золота  $\text{Au}4f_{7/2}$  (84,0 эВ) и меди  $\text{Cu}2p_{3/2}$  (932,6 эВ). Обработку фотоэмиссионных спектров проводили после вычитания фона, аппроксимированного функцией Ширли. Разложение спектров на отдельные компоненты выполняли, используя программу XPSPeak [9]. Энергии связи ( $E_{\text{св}}$ ), соответствующие сигналам в РФЭ-спектрах образцов соединений бария, нанесенных на диоксид титана или диоксид циркония, определяли по отношению к  $E_{\text{св}}(\text{Ti}2p_{3/2})$  в  $\text{TiO}_2$  или  $E_{\text{св}}(\text{Zr}3d_{5/2})$  в  $\text{ZrO}_2$ , которые принимали равными 458,8 и 182,2 эВ [10].

Образцы модельных тонкопленочных катализаторов получали в камере подготовки спектрометра. В качестве подложек использовали пластинки из сплава фекралой, предварительно отожженные на воздухе при  $800^\circ\text{C}$  в течение 1 ч с целью формирования на поверхности устойчивого слоя оксида алюминия, предохраняющего образцы модельных катализаторов от химического взаимодействия с материалом подложек. Диоксиды титана и циркония готовили в виде тонких пленок напылением на подложки металлических титана и циркония в вакууме с последующим окислением напыленного металла в атмосфере кислорода при давлении  $10^{-5}$  Торр и температуре  $400^\circ\text{C}$ . По уменьшению интенсивности сигналов  $\text{Al}2p$  и  $\text{Al}2s$  в процессе формирования носителя оценили толщину пленок  $\text{TiO}_2$  и  $\text{ZrO}_2$ , которая составила  $\sim 10$  нм.

Барий наносили на поверхность свежеприготовленных оксидов напылением в вакууме из сплава  $\text{BaAl}_4$ . Для полученных образцов  $\text{Ba/TiO}_2$  и  $\text{Ba/ZrO}_2$  кинетическая энергия Оже электронов  $\text{Ba } M_4N_{45}N_{45}$  597,5—598,3 эВ находится в интервале значений, приведенных в справочнике [10] для  $\text{BaO}$ , и, следовательно, при напылении происходит окисление основной части атомов металлического бария остаточными газами с образованием на поверхности оксидного носителя соединений  $\text{Ba}^{2+}$ . Толщину пленки соединений бария оценили по уменьшению интенсивности сигнала  $\text{Ti}2p$  или  $\text{Zr}3d$ ; во всех исследованных образцах она составила 2,5—3,0 нм, что соответствует  $\sim 10$  монослоям  $\text{BaO}$  [11]. При напылении бария на пленку  $\text{TiO}_2$  было отмечено восстановление части катионов  $\text{Ti}^{4+}$  до состояния  $\text{Ti}^{3+}$ . При последующем непродолжительном взаимодействии с окислительной реакционной средой происходил обратный процесс окисления  $\text{Ti}^{3+}$  в  $\text{Ti}^{4+}$ .

Процесс поглощения  $\text{NO}_x$  при отсутствии в составе образцов платиновых металлов исследовали взаимодействием образцов с диоксидом азота. Обработку в  $\text{NO}_2$  осуществляли в камере подготовки спектрометра по методике, подробно описанной в работе [12].  $\text{NO}_2$  получали непосредственно в вакуумной камере разложением нитрата свинца по реакции:



Нитрат свинца помещали в запаянную с одного конца тонкостенную трубку из нержавеющей стали, на внешнюю поверхность которой была намотана никромовая проволока. Пропускание тока через проволоку позволяло нагревать источник от комнатной температуры до  $400^\circ\text{C}$ . Перед началом работы источник с навеской  $\text{Pb}(\text{NO}_3)_2$  обезгаживали прогревом в вакууме в течение нескольких часов для удаления следов воды. Во время обработки образцов в  $\text{NO}_2$  ось источника ориентировали перпендикулярно к поверхности образца, а выходное отверстие распо-

лагали на расстоянии 20 мм от образца. Давление в камере в ходе взаимодействия образца с  $\text{NO}_2$  регулировали током, пропускаемого через проволоку, и поддерживали в диапазоне  $(3 \pm 0,5) \times 10^{-6}$  Торр. При обработке в  $\text{NO}_2$  температуру образцов поддерживали на уровне комнатной.

После взаимодействия с реакционной средой ( $\text{NO}_2$ ) образцы без контакта с атмосферой перемещали в аналитическую камеру для записи РФЭ-спектров.

### РЕЗУЛЬТАТЫ И ИХ ОБСУЖДЕНИЕ

Перед исследованием модельных образцов, содержащих Ba, было проведено взаимодействие  $\text{NO}_2$  с чистыми носителями  $\text{TiO}_2$  и  $\text{ZrO}_2$ . После продолжительной обработки в  $\text{NO}_2$  в течение  $\sim 20$  ч в регионе N1s обнаруживается пик с энергией связи 405,8 эВ ( $\text{TiO}_2$ ) и 406,2 эВ ( $\text{ZrO}_2$ ), который может быть отнесен поверхностным частицам  $\text{NO}_x^-$ . Атомные отношения, рассчитанные из интенсивностей соответствующих фотоэмиссионных линий с учетом факторов атомной чувствительности, показали, что количество частиц невелико:  $[\text{N}]/[\text{Ti}] \approx 0,0035$  и  $[\text{N}]/[\text{Zr}] \approx 0,011$ , в связи с чем вкладом частиц  $\text{NO}_x^-$ , образованных на поверхности носителя, при дальнейшем рассмотрении взаимодействия образцов  $\text{Ba/TiO}_2$  и  $\text{Ba/ZrO}_2$  с  $\text{NO}_2$  можно пренебречь.

После взаимодействия  $\text{NO}_2$  со свежеприготовленными образцами  $\text{Ba/TiO}_2$  (рис. 1, *a*) и  $\text{Ba/ZrO}_2$  (см. рис. 1, *b*) в регионе N1s регистрируются две линии. На начальном этапе появляется интенсивная линия с энергией связи  $\sim 403,5$ —404 эВ, которая может быть отнесена поверхностному нитриту бария. С увеличением экспозиции интенсивность этой линии постепенно уменьшается, и наблюдается появление и рост линии с энергией связи 407—407,5 эВ, принадлежащей поверхностному нитрату бария. В литературе линии N1s нитрита и нитрата бария, полученных при взаимодействии с  $\text{NO}_2$  оксида бария, нанесенного на поверхности  $\text{Al}_2\text{O}_3$ , Pt(111), Cu(111), Ta, были зарегистрированы в близких интервалах энергий связи 403,8—404,5 и 407,5—408,1 эВ соответственно [11, 13—16].

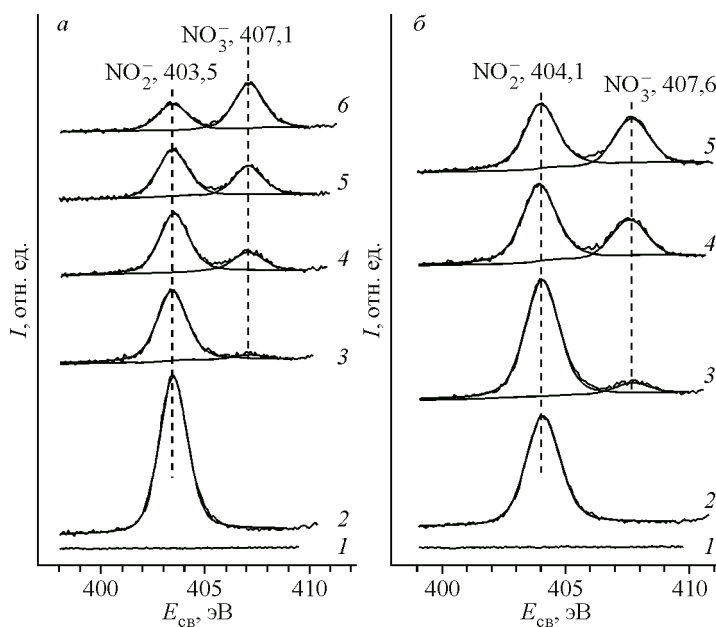


Рис. 1. N1s спектры, записанные для свежеприготовленных образцов  $\text{Ba/TiO}_2$  (а) и  $\text{Ba/ZrO}_2$  (б) в исходном состоянии (1) и после взаимодействия с  $\text{NO}_2$  в течение: (а) 5 (2), 25 (3), 125 (4), 275 (5), 1275 (6) мин; (б) 5 (2), 60 (3), 190 (4), 310 (5) мин. Температура образцов при взаимодействии 30 °C

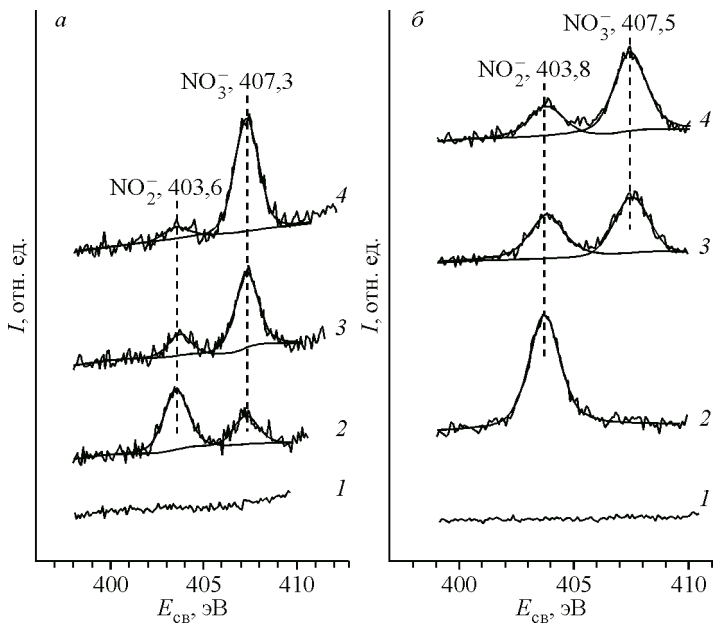


Рис. 2. N1s спектры, записанные для прокаленных в вакууме образцов Ba/TiO<sub>2</sub> (а) и Ba/ZrO<sub>2</sub> (б) в исходном состоянии (1) и после взаимодействия с NO<sub>2</sub> в течение: (а) 5 (2), 25 (3), 60 (4) мин; (б) 5 (2), 25 (3), 120 (4) мин. Температура образцов при взаимодействии 30 °С

После обработки в NO<sub>2</sub> прогрев образцов в вакууме в температурном интервале 300—500 °С приводит к полному разложению поверхностных нитритов и нитратов. Повторная обработка прогретых образцов в NO<sub>2</sub> снова приводит к образованию тех же поверхностных соединений (рис. 2). Однако сравнение серий спектров N1s, представленных на рис. 1 и 2, обнаруживает определенные отличия в поведении свежеприготовленных и прогретых образцов в отношении взаимодействия с NO<sub>2</sub>. Как видно из спектров, приведенных на рис. 2, а, на поверхности образца Ba/TiO<sub>2</sub> нитрат начинает образовываться на самом раннем этапе параллельно с нитритом. Далее с ростом экспозиции в NO<sub>2</sub> наблюдается монотонный рост интенсивности линии N1s нитрата, тогда как интенсивность линии нитрита монотонно снижается. При повторной обработке в NO<sub>2</sub> прогретого образца Ba/ZrO<sub>2</sub> так же, как и для свежеприготовленного образца, наблюдается последовательное образование нитрита и нитрата бария (см. рис. 2, б). В то же время можно заметить, что в случае прогретого образца нитрат начинает появляться раньше и в большем количестве по сравнению со свежеприготовленным образцом.

На рис. 3 приведены кривые накопления нитрита (см. рис. 3, а) и нитрата (см. рис. 3, б) бария в зависимости от экспозиции в NO<sub>2</sub> для свежеприготовленных и прогретых образцов Ba/TiO<sub>2</sub> и Ba/ZrO<sub>2</sub>. На рис. 3, а видно, что прогрев в вакууме образцов Ba/TiO<sub>2</sub> и Ba/ZrO<sub>2</sub> приводит к существенному снижению количества нитрита, образующегося при повторной обработке образцов в NO<sub>2</sub>. Напротив, нитрат бария после прогрева образуется в больших количествах, что особенно заметно для случая образца Ba/ZrO<sub>2</sub>. Кривые накопления, приведенные на рис. 3, б, показывают, что нитрит бария образуется более эффективно, когда в качестве носителя используется ZrO<sub>2</sub>, что находится в согласии с представлением о том, что скорость образования нитрата бария тем выше, чем выше основность носителя [17]. В то же время резкое снижение эффективности взаимодействия с NO<sub>2</sub> образца Ba/TiO<sub>2</sub> после прокаливания в вакууме также может быть обусловлено образованием титанатов бария. В работе [18] показано, что титанаты бария, образующиеся при высокотемпературном взаимодействии пленки TiO<sub>2</sub> с нанесенным на ее поверхность BaO<sub>x</sub>, теряют способность поглощать NO<sub>2</sub> в виде нитрита и нитрата бария. Образование титанатов проявляется, в частности, в уменьшении атомного отношения Ba/Ti [18]. В нашем случае атомное отношение Ba/Ti в результате прокаливания образца

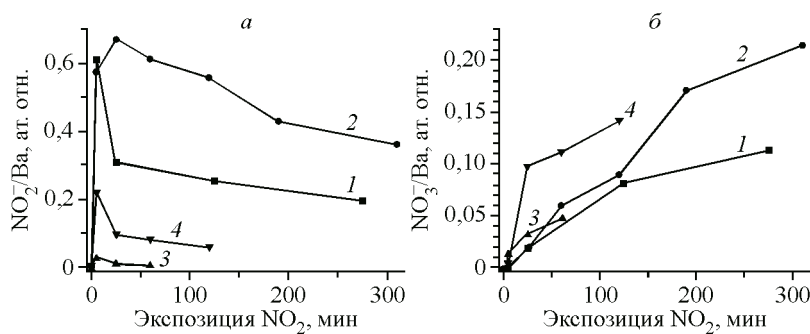


Рис. 3. Изменение атомных отношений  $[NO_2^-]/[Ba]$  (а) и  $[NO_3^-]/[Ba]$  (б) при взаимодействии свежеприготовленных (1, 2) и прокаленных в вакууме (3, 4) образцов  $Ba/TiO_2$  (1, 3) и  $Ba/ZrO_2$  (2, 4)

уменьшалось от 2,5 до 1,1. Для сравнения, атомное отношение Ba/Zr при прокаливании образца Ba/ZrO<sub>2</sub> также уменьшается, но в меньшей степени — от 2,4 до 1,6, по-видимому, вследствие того, что цирконаты бария образуются с большим трудом.

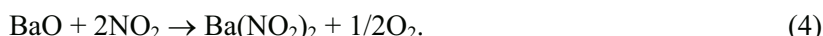
Образование только нитрита бария на раннем этапе взаимодействия с NO<sub>2</sub> свежеприготовленных образцов Ba/TiO<sub>2</sub> (см. рис. 1, а) и Ba/ZrO<sub>2</sub> (см. рис. 1, б), а также прогретого в вакууме образца Ba/ZrO<sub>2</sub> (см. рис. 2, б) при отсутствии среди продуктов взаимодействия нитрата бария требует объяснения. Действительно, образование нитрит-иона из NO<sub>2</sub> означает, что происходит уменьшение степени окисления атома азота от 4+ до 3+. В этой связи возникает вопрос о том, какой из участвующих в реакции реагентов подвергается окислению. В работах [13, 19] при низкотемпературном ( $\leq 30$  °C) взаимодействии NO<sub>2</sub> с модельным катализатором BaO, нанесенным на Al<sub>2</sub>O<sub>3</sub>/NiAl(110), наблюдается протекание реакции диспропорционирования с образованием эквимолярных количеств нитрит- (восстановление NO<sub>2</sub>) и нитрат-ионов (окисление NO<sub>2</sub>):



Сообщалось также о том, что в реакции BaO, нанесенного на TiO<sub>2</sub>, с NO<sub>2</sub> происходит образование главным образом нитрата бария, которое сопровождается выделением в газовую фазу NO в соответствии с реакцией [20]:



В то же время сообщалось также, что при комнатной температуре взаимодействие NO<sub>2</sub> с тонкими слоями BaO, нанесенными на пленку оксида алюминия, выращенную на поверхности монокристалла NiAl(110), как и в нашем случае, приводит на раннем этапе к образованию нитрита бария. Нитрат бария образуется только после достижения определенной величины экспозиции NO<sub>2</sub> [15, 21]. Показано, что восстановление NO<sub>2</sub> до нитрит-ионов сопровождается окислением дополнительного количества атомов алюминия в сплаве NiAl [15]. В работе [11], выполненной на образцах BaO, нанесенных на поверхность монокристалла Cu(111), образование нитрита бария при взаимодействии с NO<sub>2</sub> протекает параллельно с образованием кислорода по реакции:



Возможно также, что восстановление NO<sub>2</sub> сопровождается образованием пероксида бария BaO<sub>2</sub>, более устойчивого в данных условиях, нежели оксид бария BaO [22].

Не исключая возможность образования кислорода и пероксида бария, в нашем случае можно допустить протекание еще двух других окислительных процессов, сопровождающих восстановление азота при превращении молекулы NO<sub>2</sub> в нитрит-ион. Первый процесс — окисление остаточного бария, который сохранился в металлическом состоянии после напыления на оксидный носитель:



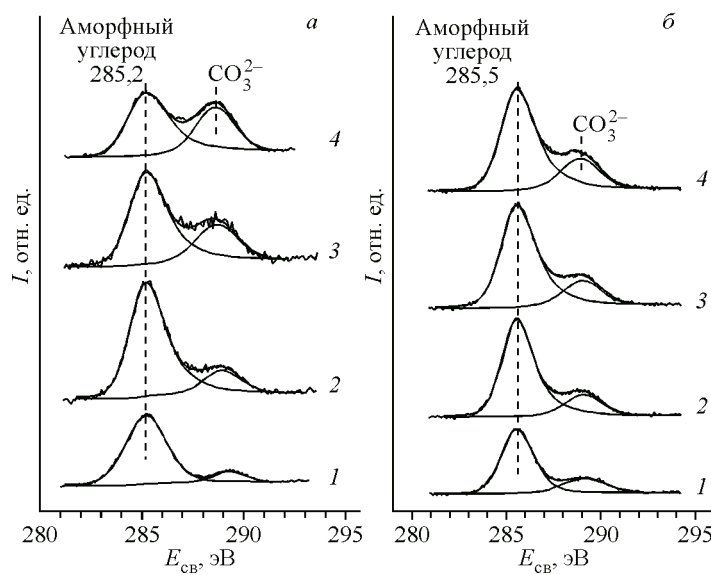


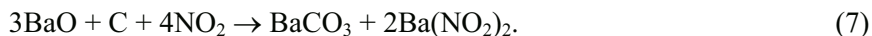
Рис. 4. C1s спектры, записанные для свежеприготовленных образцов Ba/TiO<sub>2</sub> (а) и Ba/ZrO<sub>2</sub> (б) в исходном состоянии (1) и после взаимодействия с NO<sub>2</sub> в течение: (а) 5 (2), 275 (3), 1275 (4) мин; (б) 120 (2), 190 (3), 310 (4) мин. Температура образцов при взаимодействии 30 °С

Образование нитрата бария может происходить при дальнейшем окислении нитрит-ионов молекулами NO<sub>2</sub>:



Если в свежеприготовленном образце присутствует металлический барий, то после реакции с NO<sub>2</sub> значительная его часть переходит в нитрит и нитрат бария. После разложения Ba(NO<sub>2</sub>)<sub>2</sub> и Ba(NO<sub>3</sub>)<sub>2</sub> в результате прогрева в вакууме эта часть бария обратно в металлическое состояние не возвращается. Действительно, как показано на рис. 3, а, повторная обработка прогретых образцов в NO<sub>2</sub> дает гораздо меньше NO<sub>2</sub><sup>-</sup>, что находится в согласии с предположением о присутствии в свежеприготовленных образцах некоторого количества металлического бария, который необратимо переходит в окисленное состояние после обработки в NO<sub>2</sub>.

Другой возможный процесс — реакция NO<sub>2</sub> с примесным углеродом, который в аморфном состоянии содержится на поверхности образцов Ba/TiO<sub>2</sub> и Ba/ZrO<sub>2</sub>. Процесс может быть описан следующим уравнением реакции:



С целью подтверждения протекания реакции (7) на рис. 4 приведены две серии спектров, записанных в регионе C1s при взаимодействии NO<sub>2</sub> со свежеприготовленными образцами Ba/TiO<sub>2</sub> (см. рис. 4, а) и Ba/ZrO<sub>2</sub> (см. рис. 4, б). Во всех спектрах присутствуют две линии, одна из которых более интенсивная, с энергией связи ~ 285—285,5 эВ принадлежит примесному аморфному углероду. Менее интенсивная линия имеет значение энергии связи C 1s ~ 288,5—289 эВ, характерное для карбонатов, в том числе карбоната бария BaCO<sub>3</sub> [ 23 ]. По мере взаимодействия образцов Ba/TiO<sub>2</sub> и Ba/ZrO<sub>2</sub> с NO<sub>2</sub> интенсивность линии, принадлежащей карбонату бария, монотонно растет, что может указывать на протекание реакции (7).

Следует отметить, что изучение процессов окисления аморфного углерода диоксидом азота может представлять самостоятельный интерес в качестве модельной реакции окисления диэльной сажи. При этом наблюдение реакции (7) имеет важное значение еще и потому, что открывает у NSR катализаторов свойство не только нейтрализовать оксиды азота, но и дополнительно участвовать в процессе сжигания сажи — еще одного вредного компонента в составе выхлопных газов [ 24 ].

## ВЫВОДЫ

1. Низкотемпературное взаимодействие  $\text{NO}_2$  с модельными катализаторами поглощения восстановления  $\text{NO}_x$  (NSR катализаторы)  $\text{Ba/TiO}_2$  и  $\text{Ba/ZrO}_2$  протекает с последовательным образованием поверхностных нитрита и нитрата бария.
2. На начальном этапе взаимодействия восстановление  $\text{NO}_2$  с образованием нитрита бария сопровождается окислением остаточного металлического бария и примесного аморфного углерода.
3. Образование нитрата бария протекает более эффективно на  $\text{Ba/ZrO}_2$ , нежели на  $\text{Ba/TiO}_2$ .

Работа выполнена при финансовой поддержке Российского фонда фундаментальных исследований (грант 12-03-91373-СТ) и Гранта Президента РФ для государственной поддержки ведущих научных школ РФ (НШ-5340.2014.3).

## СПИСОК ЛИТЕРАТУРЫ

1. Matsumoto S. // Cattech. – 2000. – **4**, N 1. – P. 102.
2. Sedlmair Ch., Seshan K., Jentys A. et al. // Catal. Today. – 2002. – **75**, N 1-4. – P. 413.
3. Liu Z., Anderson J.A. // J. Catal. – 2004. – **228**, N 1. – P. 243.
4. Hirata H., Hachisuka I., Ikeda Y. et al. // Top Catal. – 2001. – **16/17**, N 1-4. – P. 145.
5. Takahashi N., Suda A., Hachisuka I. et al. // Appl. Catal. B. – 2007. – **72**, N 1-2. – P. 187.
6. Andonova S.M., Senturk G.S., Kayhan E., Ozensoy E. // J. Phys. Chem. C. – 2009. – **113**, N 25. – P. 11014.
7. Смирнов М.Ю., Калинкин А.В., Дубков А.А. и др. // Кинетика и катализ. – 2008. – **49**, № 6. – С. 876.
8. Смирнов М.Ю., Калинкин А.В., Дубков А.А. и др. // Кинетика и катализ. – 2011. – **52**, № 4. – С. 605.
9. <http://www.phy.cuhk.edu.hk/~surface/XPSPEAK/>
10. Moulder J.F., Stickle W.F., Sobol P.E., Bomben K.D. Handbook of X-ray Photoelectron Spectroscopy / Ed. J. Chastain. – Perkin-Elmer Co, 1992.
11. Tsami A., Grillo F., Bowker M., Nix R.M. // Surf. Sci. – 2006. – **600**, N 17. – P. 3403.
12. Калинкин А.В., Сорокин А.М., Смирнов М.Ю., Бухтияров В.И. // Кинетика и катализ. – 2014. – **55**, № 3. – С. 371.
13. Mudiyanselage K., Yi C.-W., Szanyi J. // Langmuir. – 2009. – **25**, N 18. – P. 10820.
14. Yi C.-W., Kwak J.H., Szanyi J. // J. Phys. Chem. C. – 2007. – **111**, N 42. – P. 15299.
15. Staudt T., Desikusumastuti A., Happel M. // J. Phys. Chem. C. – 2008. – **112**, N 26. – P. 9835.
16. Schmitz P.J., Baird R.J. // J. Phys. Chem. B. – 2002. – **106**, N 16. – P. 4172.
17. Maeda N., Urakawa A., Baiker A. // J. Phys. Chem. C. – 2009. – **113**, N 38. – P. 16724.
18. Emmez E., Vovk E.I., Bukhtiyorov V.I., Ozensoy E. // J. Phys. Chem. C. – 2011. – **115**, N 45. – P. 24256.
19. Yi C.-W., Szanyi J. // J. Phys. Chem. C. – 2009. – **113**, N 6. – P. 2134.
20. Despres J., Koebel M., Kröcher O. et al. // Appl. Catal. B. – 2003. – **43**, N 4. – P. 389.
21. Desikusumastuti A., Happel M., Dumbuya K. // J. Phys. Chem. C. – 2008. – **112**, N 16. – P. 6477.
22. Vovk E.I., Emmez E., Erbudak M. et al. // J. Phys. Chem. C. – 2011. – **115**, N 49. – P. 22438.
23. Christie A.B., Lee J., Sutherland I., Walls J.M. // Appl. Surf. Sci. – 1983. – **15**, N 1-4. – P. 224.
24. Artioli N., Matarrese R., Castoldi L. et al. // Catal. Today. – 2011. – **169**, N 1. – P. 36.